

## شکل‌پذیری و طول (قطر) مفصل در اتصال‌های بتن‌آرمه با بتن خودمتراکم (SCC) و مدل اجزاء محدود

علی‌اکبر مقصودی (استادیار)

کامران هستی (کارشناس ارشد)

دانشکده‌ی هنдрی عمران، دانشگاه شهید بهشتی کوهان

در محل اتصال تیر به ستون خصوصاً در طبقات پایین سازه‌های بلند بتن مسلح، معمولاً به دلیل تراکم زیاد آرماتورها، بتن معمولی سنتی<sup>۱</sup> اغلب با مشکل اجرأ و ویره‌کردن روبرو است. استفاده از نسل جدید بتن معروف به بتن خودمتراکم (SCC)<sup>۲</sup> به منزله‌ی جایگزین، انتخاب مناسبی است. این بتن با روانی زیاد و بدون نیاز به ویره‌کردن داخلی یا خارجی، منجز به بهبود کیفیت و کاهش قیمت در مقایسه با بتن سنتی است. برای موافقت با استفاده از این نوع بتن در اتصالات تیر-ستون بتن مسلح، از نتایج تحقیقات آزمایشگاهی موجود<sup>۳</sup> عدد اتصال با درصد های مختلف  $m$  و  $m'$  برای تعیین شکل‌پذیری و طول (قطر) مفصل خمیری استفاده شد. اتصالات شبیه‌سازی شده، تحت بار فرایندی نقطه‌ی تا مرحله‌ی تخریب قرار گرفتند و مقادیر خیز و کرنش فولاد و بتن در مقاطع مختلف اندازه‌گیری شدند. در فارغ‌تئویک این تحقیق، مدل سازی اجزاء محدود (سه بعدی غیرخطی ANSYS) برای اتصالات انجام و منحنی بار-خیز و توسعه‌ی لولای خمیری ترسیم شد. مقایسه‌ی نتایج مدل سازی اجزاء محدود و آزمایشگاهی اتصالات، به نزدیکی نتایج در دو روش دلالت دارد. در نتیجه طراحی اتصالات بتن مسلح شکل‌پذیر با بتن خودمتراکم (بدون نیاز به ویره) امکان‌پذیر است.

maghsoudi.a.a@mail.uk.ac.ir  
camran\_masti@yahoo.com

واژگان کلیدی: SCC، شکل‌پذیری، مفصل خمیری، اتصال تیر-ستون، ANSYS.

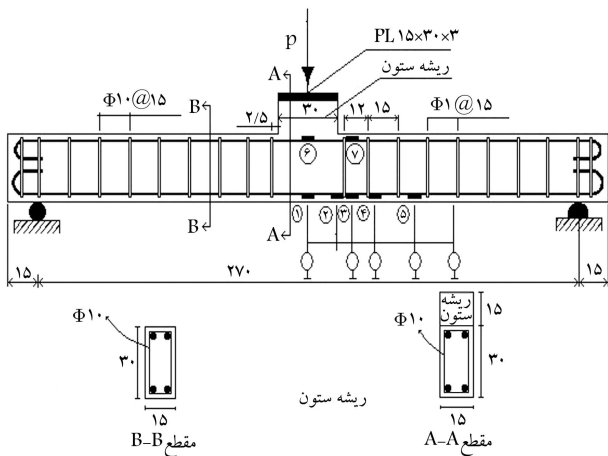
### مقدمه

تحقیقات ابتدایی انجام شده است تا مدل واقع‌گرایانه‌ی رفتار سازه‌های بتن مسلح را پیش‌بینی کند<sup>[۱-۴]</sup> از عوارض اصلی این پیچیدگی، طبیعت ترکیبی مواد است. مدل مناسبی که نماینده این سازه‌های است باید قادر به انجام این مهم باشد. در این تحقیق با معرفی خصوصیات واقعی بتن و فولاد در قالب نمودارهای تنش-کرنش، سعی در ارائه‌ی مدلی شده است که تا حد امکان نتایج مدل به نتایج نمونه‌های آزمایشگاهی نزدیک باشد.

با توجه به اینکه پاسخ سازه به بارهای زلزله یا باد، بستگی به سختی آن دارد؛ عمل شکل‌پذیری غیرترجاعی سعی در کاهش نیروهای اینرسی به ساختمند دارد و در نتیجه باعث اقتصادی شدن طرح سازه می‌شود. پارامترهای زیادی بر شکل‌پذیری سازه‌های بتنی مؤثرند.<sup>[۵-۱۰]</sup> تغییر در میزان فولاد طولی (کششی و فشاری) به شدت مقاومت مقطع را تغییر می‌دهد و بیشتر طراحان برای دست یابی به مقاومت‌های مختلف از تغییر در میزان فولاد طولی (کششی و فشاری) استفاده می‌کنند.<sup>[۱۱-۱۳]</sup> از طرفی مسئله‌ی مهم در اعضاء بتنی، مقدار کرنش فولاد کششی در حالت نهایی (با توجه به محدودیت جدید آینین نامه‌ی ACI<sup>[۱۴]</sup> بر مقدار کرنش فولاد موجود تأمین شکل‌پذیری لازم سازه‌ها و مقدار تنش فولاد در حالت نهایی با میزان واردشدن در ناحیه‌ی سختی کرنشی) برای محاسبه‌ی طول مهاری و جلوگیری از شکست پیوستگی قبل از شکست خمی است. در این تحقیق مدل سازی اتصال با نرم‌افزار

بتن خودمتراکم، بتن جدیدی است که اولین بار در سال ۱۹۸۶ برای حل مشکلات دوام سازه‌های بتنی ابداع شد و در زمینه‌های مختلفی مورد استفاده قرار گرفت.<sup>[۱۵]</sup> از مزایای مهم استفاده از این نوع بتن می‌توان به کاهش زمان ساخت‌وساز، صرفه‌جویی اقتصادی و بالارفتن کیفیت نهایی محصولات اشاره کرد.<sup>[۱۶-۲۱]</sup> این نوع بتن برای متراکم شدن نیاز به هیچ‌گونه ویره‌ی داخلی و یا خارجی ندارد و به دلیل روانی زیادش، می‌توان از آن در سازه‌های با تراکم بسیار بالای آرماتور از جمله اتصالات سازه‌های بتنی استفاده کرد. ویگی روانی بالای SCC باعث می‌شود تا به آسانی تحت وزن خود جاری شود و مقاطع محصور شده و فضاهای قالب با تراکم بالای آرماتور را با کمترین جداشده‌گی پر کند.

برای بررسی رفتار اتصالات بتن آرمه‌ی ساخته شده از بتن خودمتراکم، نیاز به داشتن مدلی مناسب از نمونه‌های ساخته شده مانند یک مدل سازی آزمایشگاهی یا مدلی مناسب با اجزاء محدود است. هدف از این تحقیق، ارائه‌ی مدل اجزاء محدود مناسب از اتصالات ساخته شده با بتن خودمتراکم و مقایسه‌ی نتایج آن با گزارش موجود نتایج آزمایشگاهی است.<sup>[۲۲-۲۵]</sup> مانع اصلی تجزیه و تحلیل اجزاء محدود سازه‌های بتن مسلح، مبهم بودن خصوصیات مواد تشکیل دهنده است. کوشش‌های فراوانی در

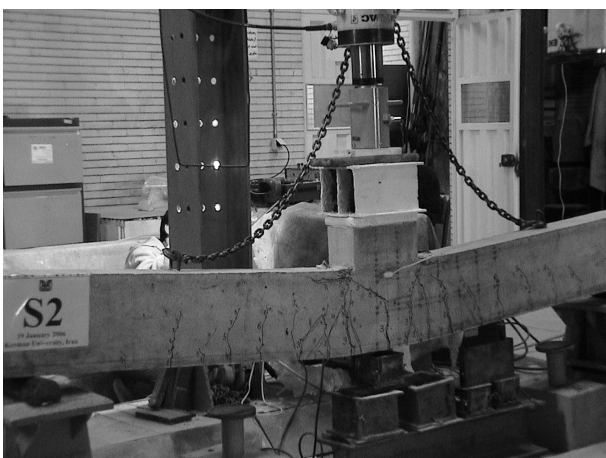


شکل ۱. نمونه‌ی از قسمه‌ی آرماتورها و محل نصب کرنش سنج‌های الکتریکی [۵] (کلیه‌ی ابعاد بر حسب سانتی متر هستند).

کرنش سنج‌های الکتریکی نصب شده بر آن‌ها اندازه‌گیری شده است. پولکی‌ها (در ۷ ردیف) بر روی سطح بتن برای قرائت کرنش مکانیکی بتن نصب و برای بارگذاری از جک هیدرولیکی با ظرفیت  $140 \text{ kN}$  استفاده شده است. مرحله بارگذاری در عضو بین ۱۴ تا ۲۳ مرحله تا لحظه‌ی شکست است. پس از هر افزایش بار، مشاهده‌ها و قرائت‌ها و گسترش ترک روی سطح عضو ثبت و گزارش شده است. [۵]

### نتایج آزمایش

در اتصالات شکست خمی و در همه‌ی اعضاء در سطح فوقانی تیر و نزدیک فصل مشترک تیر و ستون (Stub) نیز شکست اتفاق افتاد. پوسته‌شدن اولیه‌ی بتن در روجه تیر و ستون شروع شد و با ادامه‌ی بارگذاری و با گسترش پوسته‌شدن در مناطق دورتر از ستون در تیر، تیر باربری خود را از دست داد. طول منطقه‌ی شکست را طول یا قطر مفصل خمیری گویند که بیان‌گر رفتار سازه در هنگام تخریب است. در شکل ۲ نمایی از اتصال تحت آزمایش مشاهده می‌شود. مقادیر آزمایشگاهی بار تسلیم و تخریب، خیز تسلیم و نهایی همراه با کرنش‌های بتن، فشاری و میلگرد‌های طولی در جداول ۳ و ۴ برای هر مقطع نشان داده شده است.



شکل ۲. نمایی عضو S2 تحت آزمایش، نحوه‌ی گسترش ترک و وسایل آزمایش و نحوه‌ی تخریب.

ANSYS صورت گرفته است. همچنین برای اطمینان از دقیقت مدل، مقایسه‌ی با گزارش موجود نتایج آزمایشگاهی ۳ اتصال بتن مسلح ساخته شده از بتن خودمتراکم صورت گرفته است. [۵] این یادآوری لازم است که چنین شبیه‌سازی برای اتصالات در سازه‌های بتن مسلح برای بتن معمولی سنتی قیلاً صورت گرفته است. بنابراین، الگوی انتخاب اتصالات در این تحقیق شبیه اتصالات مرجع است. [۱۵]

ابعاد اتصالات منتخب [۵] همانند ابعاد اتصالات بتن معمولی [۱۵] دارای تیرهای بتی همراه با ریشه‌ی ستون (Stub) و با بتن خودمتراکم و درصد های مختلف فولاد کششی و فشاری است که در آزمایشگاه تا مرحله‌ی تخریب تحت بارگذاری قرار گرفتند. نمودارهای آزمایشگاهی بار-خیز، مقادیر نسبت‌های شکل پذیری جابجایی، خیز و بار جاری‌شدن و نهایی، تعیین و با مقادیر به دست آمده از مدل ANSYS مقایسه شده است. همچنین میزان جذب انرژی و طول (قطرا) مفصل خمیری به دو روش محاسبه و گزارش شده است.

### برنامه‌ی آزمایش‌ها

سه عدد عضو بتن مسلح دارای SCC با سطح مقطع  $15 \times 30$  و طول  $300$  سانتی‌متر همراه با ریشه‌ی ستون به ابعاد  $15 \times 30$  سانتی‌متر هستند. در جدول ۱ جزئیات نمونه‌ها ارائه شده است. استفاده از نشانه‌ی S3-S1 بدین شرح است که حرف S معرف SCC و اعداد ۳-۱ نشان دهنده‌ی تغییر در میزان فولاد کششی و فشاری مقطع است. در مکان‌های مختلفی بر میلگرد‌ها و سطح بتن، به ترتیب کرنش سنج الکتریکی و مکانیکی و خیزسنج‌ها (LVDTs) برای قرائت کرنش و خیز در حین بارگذاری نصب شد. [۵]

در شکل ۱ نمایی از عضو و محل نصب کرنش سنج‌های الکتریکی و جزئیات کامل آرماتورگذاری مشخص شده است. از آزمایش میلگرد، تشن تسلیمی برابر با  $40 \text{ MPa}$  به دست آمده است. طرح اختلالات بتن خودمتراکم را نگارنده‌ی اول ارائه کرد و نتایج آزمایش‌های بتن خودمتراکم تازه ۳ در جداول ۲ و همچنین مقاومت فشاری بتن هر نمونه در جدول ۱ آورده شده است.

اعضاء تحت بار نقطه‌ی وارد شده بر روی سطح Stub با تکیه‌گاه ساده آزمایش شده است. فاصله‌ی بین دو تکیه‌گاه در تمام نمونه‌ها ثابت و برابر  $2700$  میلی‌متر است (شکل ۱). همان‌گونه که شکل ۱ نشان می‌دهد، خیز در نقاط مختلف دهانه‌ی عضو با خیزسنج‌ها اندازه‌گیری شده است. کرنش در فولاد کششی و فشاری با

جدول ۱. مشخصات نمونه‌های آزمایش. [۵]

اتصال	$A'_s$	$\rho / \rho_b$	$\rho (\%)$	$A_s$	$d'$	$d$	$f'_c$ (MPa)	شماره
S1	$2\Phi 10$	$\rho_{min} = 0,15$	۰,۴	$2\Phi 10$	۳۳	۲۶۳	۳۰,۲	
S2	$2\Phi 12$	۰,۲۷	۱,۰۳	$2\Phi 16$	۳۴	۲۶۰	۲۷,۹	
S3	$2\Phi 16$	۰,۳۳	۱,۶۱	$2\Phi 20$	۳۸	۲۵۸	۲۸	

جدول ۲. نتایج آزمایش‌های بتن خودمتراکم تازه.

قطر جریان اسلامپ میلی‌متر	L $(h_2/h_1)$	V (ثانیه)
۶۹۰	۰,۸۲	۵

جدول ۳. مقادیر آزمایشگاهی بار تسلیم و تخریب، خیز تسلیم و نهایی، کرنش بحرانی بتن فشاری و میله‌گردهای طولی در مرکز نمونه.

$\varepsilon'_s (\times 10^{-6})$	$\varepsilon_s (\times 10^{-6})$	$\varepsilon_{cc}$	$\Delta_u$	(میلی متر) $\Delta_y$	(میلی متر) $P_u$	(تن) $P_y$	(تن) $P_u$	نمونه‌ی آزمایشی
- ۱۴۰۳	۳۵۱۹۶	۰,۰۰۰۵	۹۶	۸,۶۶	۳,۵	۲,۵۹۷	S1	
- ۱۲۵۸	۲۸۵۰۲	۰,۰۰۰۴۶	۸۶,۳	۸,۲	۷,۴۵۹	۵,۶۶۱	S2	
- ۱۸۷۹	۱۷۰۱۱	۰,۰۰۱۱۶۵	۱۱۴,۱	۱۱,۰۶	۱۰,۳۲۳	۸,۲۵۸	S3	

جدول ۴. مقادیر آزمایشگاهی بار تسلیم و تخریب، خیز تسلیم و نهایی، کرنش بحرانی بتن فشاری و میله‌گردهای طولی در فاصله‌ی ۲۰ سانتی‌متری از مرکز نمونه.

$\varepsilon'_s (\times 10^{-6})$	$\varepsilon_s (\times 10^{-6})$	$\varepsilon_{cc}$	$\Delta_u$	(میلی متر) $\Delta_y$	(تن) $P_u$	(تن) $P_y$	(تن) $P_u$	نمونه‌ی آزمایشی
- ۱۰۳۸۲	۲۹۶۲۱	۰,۰۱۱۰۲	۹۰	۹,۱۳	۳,۵	۲,۵۹۷	S1	
- ۹۴۳	۴۰۹۳۲	۰,۰۱۲۲۳۱۷	۸۴,۱۴	۸,۰۱	۷,۴۵۹	۵,۶۶۱	S2	
- ۹۴۳	۳۴۲۴۰	۰,۰۱۱۲۷	۱۱۱,۲	۱۰,۷۸	۱۰,۳۲۳	۸,۲۵۸	S3	

باشد، حل در مراحل اولیه متوقف می‌شود. این مسئله با خردشدن المان‌های ناحیه‌ی فشاری در مراحل اولیه‌ی بارگذاری و در نتیجه حذف مکرر المان‌های این نواحی و کاهش سختی عضو همراه است که در نهایت مدل ساخته شده تغییر مکان‌های بسیار زیادی از خود نشان می‌دهد و حل همگن نمی‌شود. در عمل شکست فشاری خالص به این صورت چندان محتمل نیست.

بنابراین در تحقیق حاضر، قابلیت خردشدن بتن از المان Solid65 سلب شد. این مسئله یکی از قابلیت‌های پیش‌بینی شده‌ی نرم‌افزار است که در این صورت باید منحنی تنش-کرنش بتن در ناحیه‌ی فشاری را تعریف کرد.

#### رسم دیاگرام تنش-کرنش بتن

بتن دارای رفتاری مقاومت در کشش و فشار است، در فشار ترشکن و در کشش مقاومت چندانی از خود نشان نمی‌دهد. از آنجا که چگونگی معرفی دیاگرام تنش-کرنش در هم‌گرایی مسئله‌ی بسیار مهمی است، بسیاری از پژوهشگران، روابط مختلفی برای منحنی تنش-کرنش بتن در نظر گرفته‌اند.<sup>[۱۷]</sup> در این تحقیق از رابطه‌ی ۱ استفاده شده است.<sup>[۱۸]</sup>

$$f_c = \frac{\varepsilon_c}{\varepsilon'_c} \times \frac{n}{n - 1 + (\frac{\varepsilon_c}{\varepsilon'_c})^n} \quad (1)$$

$$n = ۰,۸ + \frac{f'_c}{۱۷} \quad (MPa) \quad (2)$$

که در آن  $f_c$  تنش فشاری،  $f'_c$  پیش‌بینی تنش نمونه‌ی استوانه‌ی استاندارد بتن،  $\varepsilon_c$  کرنش فشاری،  $\varepsilon'_c$  کرنش زمانی که  $f_c$  به مقدار  $f'_c$  می‌رسد، است. ضرب ب تابع منحنی را با  $n$  (رابطه‌ی ۲) شناس می‌دهند و منحنی صعودی بیشتر خطی می‌شود. معادله‌ی ۱ رابطه‌ی بین  $\varepsilon_c$  و  $f_c$  را به صورت تابعی از سه ثابت: مقاومت فشاری، کرنش نهایی تار فشاری و  $n$  بیان می‌کند که می‌توان آن‌ها را از دیاگرام تنش-کرنش نمونه‌ی استوانه‌ی واقعی به دست آورد. برای بتن با وزن مخصوص معمولی مقدار  $n$  را می‌توان از رابطه‌ی ۲ تعیین کرد. با داشتن مقدار  $f'_c$  که از آزمایش نمونه‌ی استوانه‌ی یا قرائت کرنش سنجی‌های نصب شده بر سطح عضو معلوم می‌شود، می‌توان تمام نقاط دیاگرام را معرفی کرد. در این تحقیق از مقادیر قرائت کرنش سنجی‌های نصب شده بر سطح عضو برای در نظر گرفتن بتن پوسته در مدل اجزاء محدودی استفاده گردید (شکل ۳). همچنین با توجه به مقادیر آزمایشگاهی کرنش که در جداول ۳ و ۴ اورده شده، مقدار کرنش پیش‌بینیه برای بتن پوسته ۱۰ در نظر گرفته شده است (به عبارت

#### مدل کردن رفتار مصالح

##### مدل سازی بتن مسلح

برای مدل کردن رفتار بتن از معیار و بیلیام-وارنک<sup>[۱۹]</sup> استفاده شده است (غلب از این معیار برای بتن‌های سنتی استفاده می‌شود)، که می‌تواند به خوبی رفتار بتن در کشش و فشار را مدل سازی کند. برای مدل سازی بتن خودمترافق در نمونه‌های بتن مسلح در نرم‌افزار ANSYS<sup>®</sup> (المان معمول نرم‌افزار ANSYS<sup>®</sup>) استفاده شده است. این المان ۸ گرهی با ۳ درجه‌ی آزادی مدل کردن بتن معمولی استفاده شده است. این المان ۸ گرهی با ۳ درجه‌ی آزادی انتقالی در هر گره، قابلیت مدل سازی ترک خودگذگی، خردشکنی، خرز، تغییر شکل‌های بزرگ، کرنش‌های بزرگ و تولد و مرگ المان را دارد.<sup>[۲۰]</sup> برای این نوع بتن (SCC) نیز سعی شد از المان‌های رایج مدل ANSYS<sup>®</sup> که پژوهشگران برای بتن معمولی سنتی بارها استفاده کرده و از عملکرد نسبی آن رضایت داشته‌اند، استفاده شود.

از آنجا که رفتار بتن‌آرمه در عمل با ترک خودگذگی و خردشکنی و همچنین با ایجاد تغییر شکل‌های پلاستیک می‌تواند همراه باشد، مدل مورد استفاده در نرم‌افزار ANSYS<sup>®</sup> قابلیت پیش‌بینی شکست در اعضای بتن‌آرمه را دارد. دو پارامتر مقاومت کششی و فشاری بتن در تشکیل و تعریف سطح شکست به کار می‌رود. معیار و بیلیام-وارنک<sup>[۱۹]</sup> مورد استفاده‌ی نرم‌افزار برای بررسی رفتار چند محوره‌ی بتن، معیار و بیلیام-وارنک<sup>[۱۹]</sup> در نظر گرفته شد. در روند انجام تجزیه و تحلیل زمانی که در یک المان ترک خودگذگی یا خردشکنی اتفاق می‌افتد، مدول کشسانی در راستای ترک خوده (و در ۳ راستا برای المان خرد شده) صفر منظور می‌شود.

در روند انجام این تحقیق مشاهده شد پس از ایجاد ترک در بتن (SCC) در مراحل اولیه، (مشابه بتن‌های سنتی) حل متوقف می‌شود. این در حالی است که هنوز فولادهای مقطع فرست تغییر شکل دادن در محدوده‌ی غیر ارتجاعی را پیدا نکرده‌اند. این شکست زودهنگام به علت ایجاد گره‌هایی رخ می‌دهد که در اطراف آن‌ها تمام المان‌ها خرد شده‌اند.

در تحقیقات سایر پژوهشگران توصیه‌های مختلفی برای مشکل هم‌گرایی مشاهده می‌شود. به نظر می‌رسد گزارش کامل اجزاء محدود حاصل از تحقیقات انجام شده در دانشگاه اورگون،<sup>[۲۱]</sup> این مسئله را به نحو مطلوبی حل کرده است. در این تحقیق مشاهده شد که اگر قابلیت خردشدن المان‌ها در مدل مورد بررسی وجود داشته

۳. ناحیه‌ی کرنش سخت شدنگی مجدد.

$$\varepsilon_{sh} < \varepsilon_s \leq \varepsilon_u \Rightarrow f_s = f_y + (f_u - f_y)$$

$$\left[ 2 \frac{\varepsilon_s - \varepsilon_{sh}}{\varepsilon_u - \varepsilon_{sh}} - \left( \frac{\varepsilon_s - \varepsilon_{sh}}{\varepsilon_u - \varepsilon_{sh}} \right)^2 \right]$$

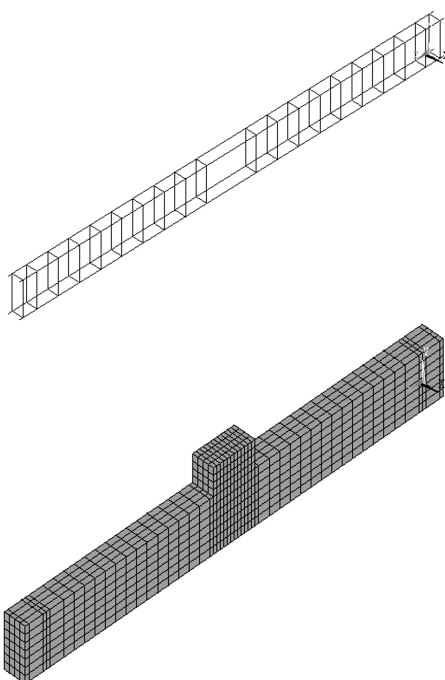
که در آن  $\varepsilon_f$  تنش فولاد زمانی که کرنش آن  $\varepsilon$  است،  $\varepsilon_y$  کرنش نظیر نقطه‌ی جاری شدن فولاد  $\varepsilon_{sh}$  کرنش در انتهای ناحیه‌ی افقی جاری شدن،  $\varepsilon_u$  و  $f_u$  نیز به ترتیب کرنش و تنش نهایی هستند.

دیگر  $\varepsilon_{ce} = \varepsilon^*$  و مقادیر آن در جداول ۳ و ۴ موجود است) که مربوط به فاصله‌ی ۲۰ سانتی‌متری از مرکز و تقریباً برای همه‌ی نمونه‌ها یکسان است. این یادآوری لازم است همان‌گونه که در جدول ۱ نشان داده شده است، چنین به نظر می‌رسد که مشابه بتن‌های سنتی، تعییه‌ی فولاد فشاری در اعضاء دارای بتن خودمترکم، منجر به افزایش کرنش نهایی بتن پوسته (۱۰٪) شده است. همچنین علی‌رغم اینکه مقدار متوسط ۹/۵ سانتی‌متری خیز نهایی ایجاد شده در اعضاء (جدول ۴)، به کارگیری خاموت‌های با فاصله‌ی ۱۵ سانتی‌متر و نیز تسیلم فولاد کششی تا فاصله‌ی ۵۰ سانتی‌متری از مرکز عضو می‌تواند دال بر صحبت این مقدار کرنش (۱۰٪) به ظاهر زیاد باشد، لیکن انجام آزمایش‌های بیشتر در این زمینه مفید خواهد بود.

### مدل سازی عضو به روش اجزاء محدود

اولین گام برای انجام یک تجزیه و تحلیل اجزاء محدود ایجاد حجم‌های مورد نظر (ساخت مدل) و المان‌بندی آن است. به عبارت دیگر گام مهم در مدل سازی اجزاء محدود، انتخاب چگالی (Density) می‌شود. این امر در هم‌گرایی مسئله و رسیدن به جوابی قابل قبول بسیار مهم است. ابتدا برای اتصال S3 مدل سازی اجزاء محدود در مقطع مرکزی اتصال صورت گرفت و پس از مش‌زندن عضو پنی مسلح همانند اتصال (S3) آزمایش شده، با تعدادی مش مطلوب فولادهای مسلح‌کننده مستقیماً بین گره‌های المان Solid 65 قرار گرفتند (شکل ۴).

در فاز آزمایشگاهی این تحقیق مشاهده شد بین بارگذاری اتصال S3 با جاری شدن میلگردی طولی، اتصال همچنان توان باربری خود را با افزایش جابجایی حفظ کرده و این امر ناشی از درصد فولاد کششی طولی و محصورشدنگی بین حاصل از فولاد فشاری، خاموت‌ها ... است. ابتدا برای مدل سازی اجزاء محدودی اتصال S3، از کرنش حاصل از آزمایش تک محوری نمونه‌ی بتن فشاری استفاده شد که نتایج به دست آمده در ناحیه‌ی خطی (شرايط بهره‌برداری) قابل قبول ولی نتایج افتادگی نهایی مدل ANSYS با نتایج آزمایشگاهی با اختلاف زیادی رو برو بودند. درصد خطای مربوط به بار جاری شدن و افتادگی نهایی به ترتیب ۲۱ و ۲۱٪ بودند.



شکل ۴. مدل اجزاء محدودی اتصال.

### فولادهای مسلح کننده

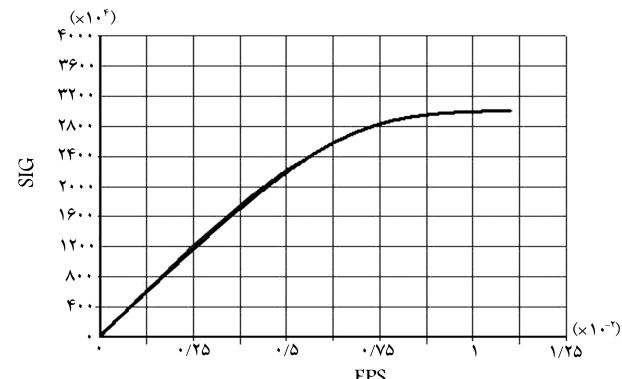
با در نظر گرفتن رابطه‌ی غیرخطی براي رفتار میلگردها با فرض حالت ایزوتروپیک خطی برای ناحیه‌ی خطی و ایزوتروپیک چند خطی برای ناحیه‌ی غیرخطی و همچنین اختصاص معیار ون میزز برای گسیختگی فولاد رفتار غیرخطی اعضاء به نحو مناسبی مدل شد. برای مدل سازی آرماتورها از المان خرپایی Link ۸ (دلیل استفاده از المان Link برای مدل کردن میلگردها در نظر نگرفتن لشکر در گره‌های المان است که در هر گره صرفاً ۳ درجه‌ی آزادی انتقالی وجود دارد و این خاصیت با رفتار میلگردهای موجود در اعضاء تطبیق دارد) از مجموعه‌ی المان‌های نرم افزار که یک المان دو گره‌ی با ۳ درجه‌ی آزادی انتقالی در هر گره است استفاده شد. این المان همچنین قابلیت مدل کردن تغییر شکل‌های خمیری را نیز دارد. در این تحقیق میلگردهای مسلح کننده بتن در آزمایشگاه، تحت آزمایش کشش مستقیم قرار گرفتند و دیاگرام‌های تنش-کرنش کامل فولاد رسم شده است. دیاگرام تنش-کرنش فولادهای مسلح کننده شامل سه ناحیه است: ناحیه‌ی اول که بیان گر رفتار خطی فولاد است، ناحیه‌ی دوم که به صورت افقی است و بدون تحمل هیچ‌گونه تنش اضافی مقداری کرنش از خود نشان می‌دهد و ناحیه‌ی سوم (ناحیه‌ی سخت شدنگی مجدد) که فولاد با افزایش کرنش، مقاومت از خود نشان می‌دهد. به عبارت دیگر کاربرد این مفاهیم به شرح زیر است:

#### ۱. ناحیه‌ی کشسان؛

$$\varepsilon_s < \varepsilon_y \Rightarrow f_s = E_s \varepsilon_s$$

#### ۲. ناحیه‌ی افقی پلاستیک؛

$$\varepsilon_y \leq \varepsilon_s \leq \varepsilon_{sh} \Rightarrow f_s = f_y$$



شکل ۵. نمودار تنش-کرنش بتن پوسته (پوشش بتن روی آرماتورها).

اجزاء محدودی که در آن بتن پوسته و هسته هر یک با خصوصیاتی متفاوت مش زده شده‌اند، S<sup>3</sup>-Fc Model مدلی است که کل بتن اتصال با استفاده از نتایج بارگذاری تک محوره‌ی نمونه‌ی استوانه‌ی بتن معمولی مش زده شده است و برای مدل کردن میلگردها از المان Link<sup>8</sup> استفاده شد. S<sup>3</sup>-beam و S<sup>3</sup>-pip مانند S<sup>3</sup>-Fc Model هستند با این تفاوت که برای مدل کردن میلگردها به ترتیب Model S<sup>3</sup>-Fc با این تفاوت که برای مدل کردن میلگردها به ترتیب Exp Model از المان‌های Beam<sup>16</sup> و Pipe<sup>16</sup> استفاده شده است. همچنینمفهوم مدل آزمایشگاهی را دارد.

۴۱ درصد (مدل S<sup>3</sup>-Fc Model) (شکل ۵) به دست آمد. با توجه به این میزان خطأ در سعی بعدی، برای درنظرگرفتن شرایط محصورشدنگی بتن ابتدا از المان‌های Beam<sup>4</sup> و Pipe<sup>16</sup> برای مدل کردن خاموت‌ها استفاده و سپس مشاهده شد که این مدل سازی نیز مناسب نیست، زیرا اختلاف زیادی با نتایج آزمایشگاهی داشت (درصد خطای مربوط به بار جاری شدن و افتادگی نهایی به ترتیب ۲۷ و ۴۱ درصد به دست آمد (جدول ۵).

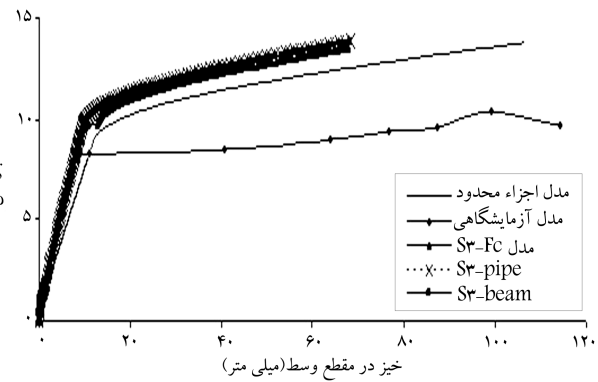
بنابراین برای رفع مشکل مدل کردن تمام فولادهای مسلح کنندگان از المان خرپایی Link<sup>8</sup> استفاده شد ولی برای درنظرگرفتن محصورشدنگی بتن، اتصال مزبور با المان Solid<sup>65</sup> با نوع خصوصیت متفاوت مش زده شد. قسمت پوسته بتن (پوشش بتنی روی آرماتورها (شکل ۳) و برای قسمت بتن هسته که با خاموت‌ها محصور شده است از شکل ۶ استفاده شد. پس از تجزیه و تحلیل و مقایسه‌ی نتایج ANSYS با نتایج آزمایشگاهی، نتایج قابل قبولی به دست آمد (درصد خطای مربوط به بار جاری شدن و نهایی به ترتیب ۶/۱ و ۶/۲ شد (شکل ۵ و جدول ۵). این روش مدل کردن برای اتصالات S<sup>3</sup> تا S<sup>3</sup> استفاده شد.

یادآور می‌شود توضیحات اشاره شده در شکل ۵ عبارتند از: FE Model مدل

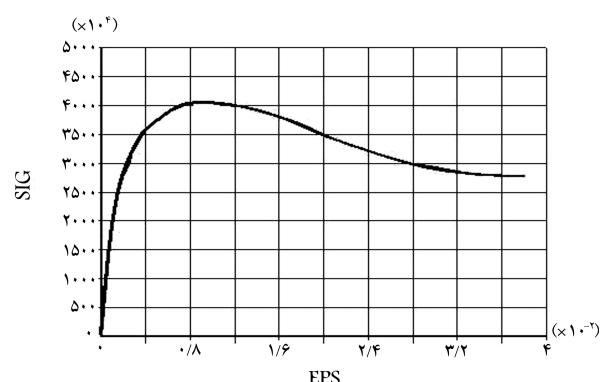
## مقایسه‌ی نتایج مدل سازی عددی (اتصالات S<sup>3</sup>-S<sup>1</sup>) و آزمایشگاهی رفتار بار-تغییر شکل

منحنی بار-تغییر شکل برای اعضاء بتن مسلح در خم شده با بتن معمولی اغلب چهار مرحله‌ی رفتاری را نشان می‌دهد. لازم به یادآوری است که این چهار مرحله‌ی رفتاری برای اعضاء آزمایش شده با بتن SCC نیز مشاهده شده است.

مرحله‌ی اول زمانی است که تیر در ناحیه‌ی کشنیدگی ترک می‌خورد، پس از این مرحله ممان اینرسی مقطع در اثر ترک خودرگی مقطع کاهش و شب منحنی بار-تغییر شکل تغییر می‌یابد. ترک‌های خشنی اولیه در گوششی Stub<sup>1</sup> در یک فاصله‌ی کوتاهی از تغییر شکل به طرف تیر افزایش یافته‌اند. مرحله‌ی دوم در منحنی بار-تغییر شکل، نقطه‌ی تسليم برای اعضا است. از آنجایی که اعضاء به طور مطلوبی مسلح شده‌اند (جدول ۱)، فولاد کشنیدگی قبل از رسیدن به کرنش بحرانی فشاری در بتن تسليم شده است (جدول ۳ و ۴). نقطه‌ی تسليم دارای اهمیت ویژه‌ی است؛ زیرا این نقطه مرز بین رفتار کشسان و رفتار غیرکشسان را مشخص می‌کند. مرحله‌ی سوم روی نمودار معرف شکست اولیه‌ی بتن (رسیدن کرنش در تار بحرانی عضو به کرنش بحرانی فشاری بتن) در منطقه‌ی فشاری است. نمی‌توان از منحنی بار-تغییر شکل برای تعیین این نقطه استفاده کرد، زیرا تغییر چشم‌گیری در منحنی متناظر با آن وجود ندارد. به همین دلیل از مقادیر قراتت شده کرنش بتن اعضاء (S<sup>3</sup>-S<sup>1</sup>) استفاده شده است تا این نقطه تعیین موقعیت شود. و مرحله‌ی چهارم رفتاری با پوسته بسنده سطوحی در طرف فوقانی تیر در گوشش‌های Stub (محل وصل عضو عمودی Stub به سطح فوقانی تیر در این محل) و با رسیدن کرنش بتن در این ناحیه به کرنش نهایی، شکست اتفاق افتاده است. در مرحله‌ی ۴ نیز ممکن است میلگردگاه‌های کشنیدگی، گسیخته شده و باربری خود را از دست بدeneند. به کمک مقادیر آزمایشگاهی جداول ۳ و ۴ و اطلاعات موجود<sup>[۵]</sup> منحنی بار-افتادگی در نقاط مختلف برای اتصالات S<sup>3</sup>-S<sup>1</sup> آزمایش شده (مرکز اتصال، ۱۵، ۳۰، ۴۵ و ۶۷ سانتی‌متر از مرکز اتصال) در اشکال ۹-۷ به دست آمده و با نتایج ANSYS مقایسه شده است. مقایسه‌ی نتایج آزمایشگاهی با مدل اجزاء محدود همان‌گونه که اشکال ۹-۷ نشان می‌دهد، کلیه‌ی اعضاء قادر به رسیدن بارگذاری تا



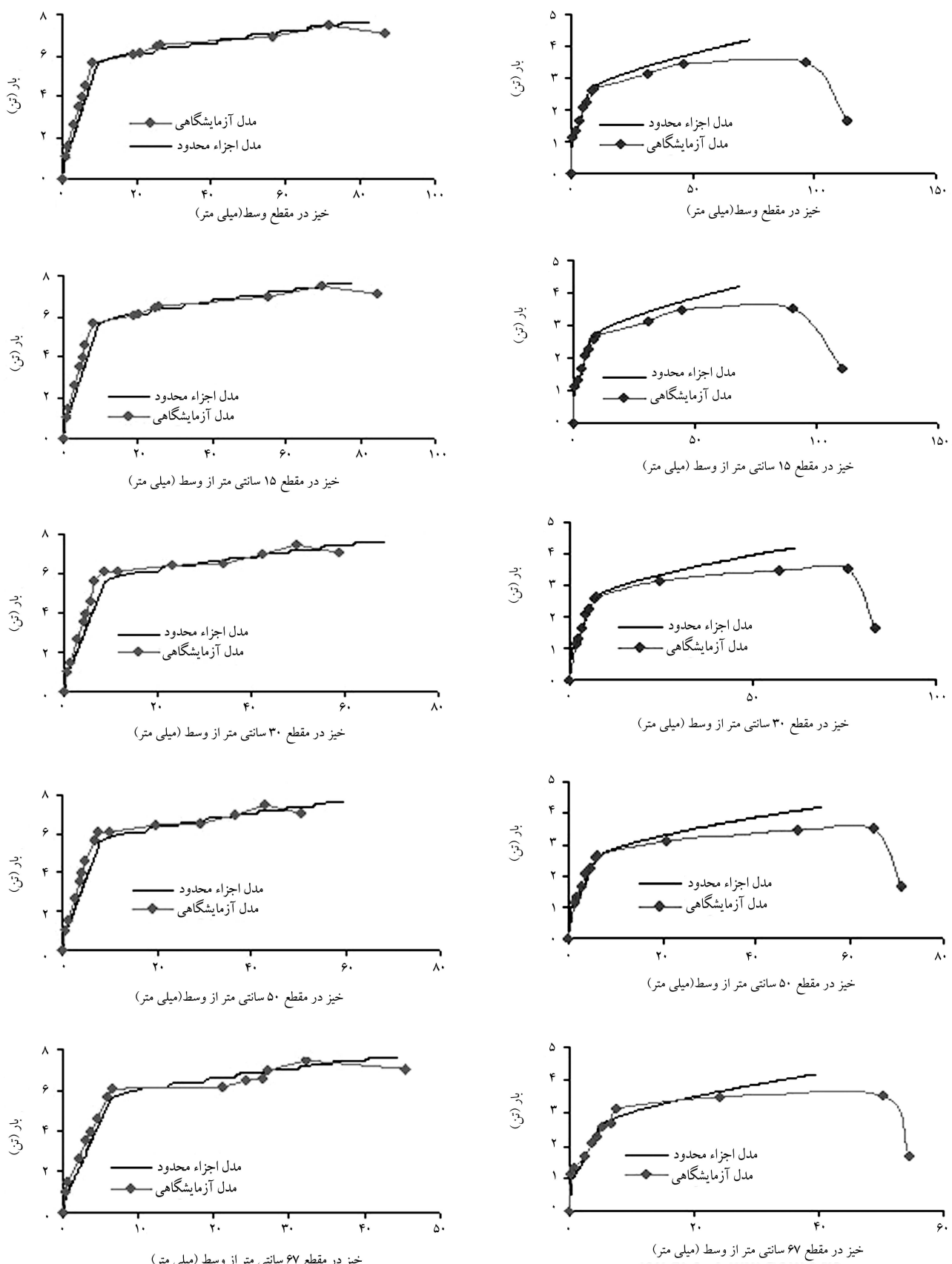
شکل ۵. مقایسه‌ی مدل سازی‌های مختلف با نتایج آزمایشگاهی اتصال S<sup>3</sup>.



شکل ۶. نمودار تنش-کرنش بتن هسته.

جدول ۵. مقایسه‌ی بار جاری شدن و افتادگی نهایی آزمایشگاهی و مدل‌های مختلف ANSYS اتصال S<sup>3</sup>.

مدل مورد استفاده	مدل آزمایشگاهی	مدل اجزاء محدود	S <sup>3</sup> _Fc Model	S <sup>3</sup> _pipe	S <sup>3</sup> _beam	S <sup>3</sup> _beam
بار جاری شدن $P_y$ (تن)	۸/۲۵۸	۸/۷۶۸	۱۰	۱۰/۴۸۸	۱۰/۴۸۸	۱۰/۴۸۸
خیز نهایی $\Delta$ (میلی‌متر)	۱۱۴/۱	۱۰۶/۴۳	۶۷/۳	۶۷/۳	۶۷/۳	۶۷/۳
درصد خطای $P_y$	-	-۶/۱	-۲۱	-۲۷	-۲۷	-۲۷
درصد خطای $\Delta$	-	۶/۷۲	۴۱	۴۱	۴۱	۴۱



شکل ۷. مقایسه نمودار بار-افتادگی مدل ANSYS و آزمایشگاهی اتصال S۱ در نقاط مختلف.

شکل ۸. مقایسه نمودار بار-افتادگی مدل ANSYS و آزمایشگاهی اتصال S۲ در نقاط مختلف.

مرحله‌ی ۴ هستند، که بیان‌گر رفتار مطلوب این نوع سازه‌ها با بن خودمتراکم هستند. به عبارت دیگر، فولاد کششی تا فاصله‌ی ۵۰ سانتی‌متر از مرکز تسیلیم شده است. و اعضاء S۳-S۱ دارای قطر مفصلی کمیته‌ی برابر با ۱۰۰ سانتی‌متر ( $2^*50$ ) است (همان‌گونه که در شکل ۱ نشان داده شده است، فرائت آخرین کرنش‌سنج الکترونیکی نصب شده بر میله‌گرد کششی در فاصله‌ی ۵۰ سانتی‌متر از مرکز در بارنهایی، حاکی از تسیلیم این میله‌گرد در اعضاء است).<sup>[۵]</sup> این موضوع، همچنین حاکی از اعتماد بالا به عملکرد این نوع بن در مناطق زلزله‌خیز است. همچنین مشاهده می‌شود که نتایج آزمایشگاهی و مدل پیشنهادی ANSYS برای هر ۳ نمونه‌ی آزمایش شده به هم نزدیک است که حاکی از مناسب بودن مدل انتخابی است.

#### شکل پذیری جابجایی ( $\mu_d$ )

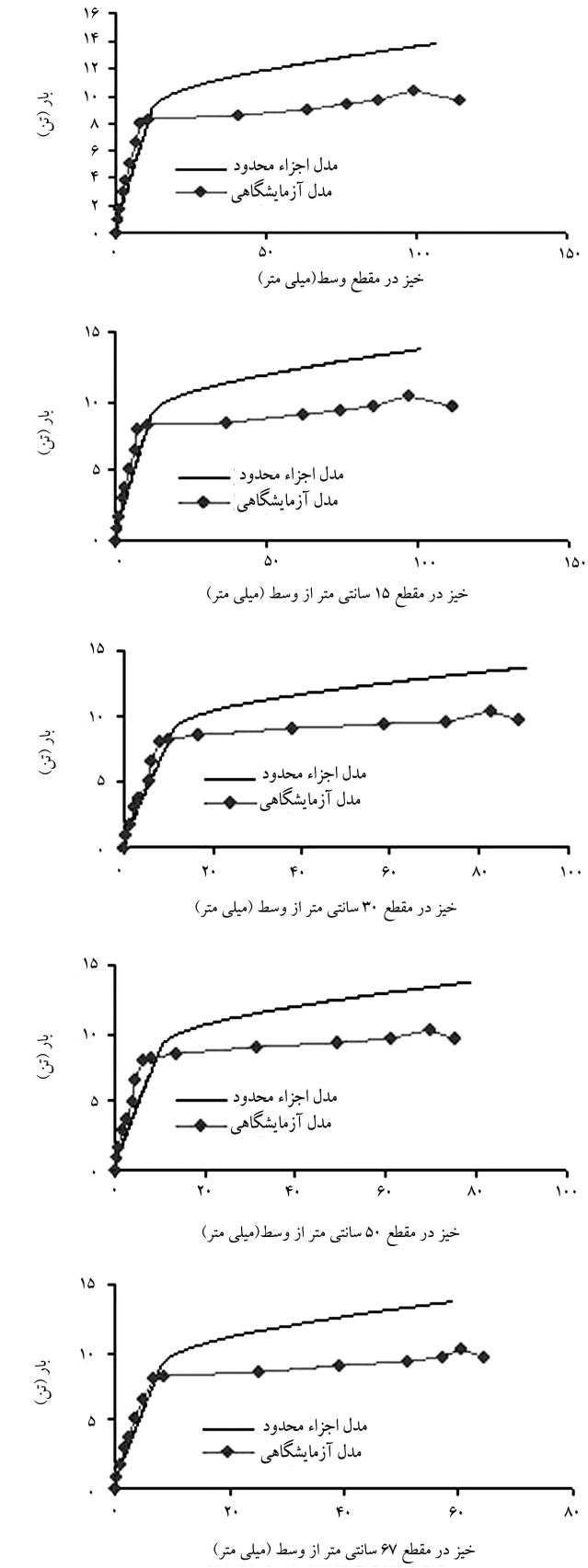
در مناطق زلزله‌خیز، یکی از معیارهای مطلوب در بررسی رفتار سازه، محاسبه‌ی نسبت شکل پذیری است. برای طراحی سازه‌های بتنی در مناطق لرزه‌خیز، کمیته‌ی مقدار شکل پذیری جابجایی در محدوده‌ی ۳ الی ۴ الای ۴ الای است.<sup>[۲۲]</sup>

در جدول ۶ مقایسه‌ی بار جاری شدن و نهایی و در جدول ۷ افتادگی جاری شدن و نهایی و درصد خطای به دست آمده از مقایسه‌ی نمونه‌ها به ترتیب برای حالت مدل سازی با ANSYS و آزمایشگاهی و همچنین مقدار شکل پذیری مربوط به هر نمونه آورده شده است. مشاهده می‌شود در مرکز اعضاء درصد خطای بار جاری شدن و نهایی به ترتیب بین ۰/۷۶ تا ۰/۱۸ و ۰/۱۲ تا ۰/۲۳، درصد خطای افتادگی جاری شدن و نهایی به ترتیب بین ۰/۹۱ تا ۰/۵۸ و ۰/۹۲ تا ۰/۵۸ درصد است. در دیگر مقاطع، سایر مقایسه‌ها و درصدهای خطای به دست آمده در جدول ۷ نشان داده شده است. یاد آوری می‌شود درصدهای خطای به دست آمده بستگی به چگونگی معرفی دیاگرام‌های تشکیل‌کرنش فولاد و بتن، مقدار ضربی انتقال پرش در حالت ترک باز و بسته دارد که در این تحقیق ضربی انتقال پرش در حالت ترک باز ۰/۳ و برای ترک بسته برای بتن هسته ۰/۷ و برای بتن پوسته ۰/۵ در نظر گرفته شد. با توجه به نتایج جدول مشاهده می‌شود که با افزایش فولاد کششی از مقدار شکل پذیری جابجایی کاسته شده است. البته در بعضی نمونه‌ها به علت افزایش مقدار فولاد فشاری این کاهش چشمگیر نیست (S۲ و S۳).

برای کلیه‌ی اعضاء، مقدار شکل پذیری از کمیته‌ی عدد ۳ پیشنهادی پژوهشگران بزرگ‌تر به دست آمده است، که نشان‌دهنده‌ی رفاقت بسیار مطلوب اتصالات بتن مسلح با این نوع بتن است. به عبارت دیگر مقدار شکل پذیری زیاد، نشان‌دهنده‌ی میزان واردشدن بیشتر در ناحیه‌ی سختی کرنشی فولاد است و گویای مقدم بودن شکست خمی بر شکست پیوستگی اعضاء دارای بتن خودمتراکم است که در مناطق

جدول ۶. مقایسه‌ی بار جاری شدن و نهایی آزمایشگاهی و مدل ANSYS

نتایج	بار(تن)	S۱	S۲	S۳
آزمایشگاهی	$P_y$	۲,۵۹۷	۵,۶۶۱	۸,۲۵۸
	$P_u$	۳,۵	۷,۴۵۹	۱۰,۳۲۳
ANSYS	$P_y$	۲,۷۰۸	۵,۶۱۸	۸,۷۶۸
	$P_u$	۴,۲	۷,۶۱۷	۱۳,۷۷۸
درصد خطای	$P_y$	-۴,۳	۰,۷۶	-۶,۱۸
	$P_u$	-۲۰	-۲,۱۲	-۳۳,۴۷



شکل ۹. مقایسه‌ی نمودار بار-افتادگی مدل ANSYS و آزمایشگاهی اتصال S۳ در نقاط مختلف.

جدول ۷. مقایسه‌ی افتادگی جاری شدن و نهایی و مقادیر شکل‌پذیری آزمایشگاهی و مدل ANSYS اتصالات در مقاطع مختلف اعضاء.

درصد خطای $\mu_d$	درصد خطای $\Delta_u$	درصد خطای $\Delta_y$	$\mu_{dnum}$	$\mu_{dexp}$	نتایج عددی		نتایج آزمایشی		نمونه‌ی آزمایشی $\Delta_y$	مقاطع
					$\Delta_u$ (میلی‌متر)	$\Delta_y$ (میلی‌متر)	$\Delta_u$ (میلی‌متر)	$\Delta_y$ (میلی‌متر)		
۲۵	-۲۲,۹۱	-۲,۸	۸,۳۱	۱۱,۰۸	۷۴	۸,۹	۹۶	۸,۶۶	S1	وسط
۱۸,۱۵	۴,۵۸	-۱۶,۵۸	۸,۶۱	۱۰,۵۲	۸۲,۳۵	۹,۵۶	۸۶,۳	۸,۲	S2	
۱۱,۷۴	۶,۷۲	-۵,۷۹	۹,۱۰	۱۰,۳۱	۱۰۶,۴۳	۱۱,۷	۱۱۴,۱	۱۱,۰۶	S3	
۱۸,۷۸	۲۴	۶,۱۳	۸	۹,۸۵	۶۸,۴۰	۸,۵۷	۹۰	۹,۱۳	S1	سانتی‌متر
۲۲,۳۸	۷,۷۷	-۱۸,۸۵	۸,۱۵	۱۰,۵	۷۷,۶	۹,۵۲	۱۴,۸۴	۸,۰۱	S2	
۱۵,۱۳	۹,۳۱	-۶,۹۶	۸,۷۵	۱۰,۳۱	۱۰۰,۸۴	۱۱,۵۳	۱۱۱,۲	۱۰,۷۸	S3	
۲۴,۵۳	۱۸,۸۲	-۷,۶۱	۷,۶۶	۱۰,۱۵	۶۱,۷۰	۸,۰۶	۷۶	۷,۴۹	S1	سانتی‌متر
۱۴,۵۳	-۱۵,۰۲	-۳۵,۲۶	۷,۵۳	۸,۸۱	۶۷	۸,۹	۵۸	۶,۵۸	S2	
۲,۵۵	-۲,۳۷	-۵,۰۶	۸,۴۰	۸,۶۲	۹۰,۷	۱۰,۸	۸۸,۶	۱۰,۲۸	S3	
۲۶,۸	۱۶,۹۴	-۱۳,۵۹	۷,۴۳	۱۰,۱۵	۵۴	۷,۲۷	۶۵,۰۱	۶,۴۰	S1	سانتی‌متر
۱,۰۹	-۱۷,۰۶	-۱۸,۲۵	۷,۲۸	۷,۳۶	۵۹	۸,۱	۵۰,۴	۶,۸۵	S2	
۱۴,۱۵	-۴,۶۷	-۲۱,۸۹	۸,۰۱	۹,۳۳	۷۸,۵	۹,۸	۷۵	۸,۰۴	S3	
۲,۹۴	۱۹,۲۵	۱۶,۰۳	۷,۰۷	۷,۳۶	۴۰,۴۰	۵,۷۱	۵۰,۰۵	۶,۸	S1	سانتی‌متر
۱۰,۵	۲,۹۸	-۸,۴۰	۶,۸۲	۷,۶۲	۴۴	۶,۴۵	۴۵,۳۵	۵,۹۵	S2	
۱,۴۴	۸,۷۳	۷,۳۴	۷,۵	۷,۶۱	۵۸,۷۳	۷,۸۳	۶۴,۳۵	۸,۴۵	S3	

یکسان با افزایش فولاد فشاری و برای اعضاء با فولاد فشاری یکسان نیز با افزایش فولاد کششی طول ناحیه‌ی جاری شدن کاهش می‌یابد.

زلزله‌خیز مهم است. به بیان دیگر، استفاده از این نوع بتن در سازه‌ها و خصوصاً اتصالات سازه‌های بتن مسلح، قادر به جذب انرژی قابل توجهی است.

## نتیجه‌گیری

در این تحقیق، برای مدل سازی اجراء محدودی اعضاء مسلح شده دارای بتن خودمتراکم (بدون نیاز به ویره)، ابتدا مدل سازی‌های مختلف در برنامه‌ی ANSYS برای نمونه‌ی S3 انجام شد و نتایج عددی به دست آمده با نتایج موجود آزمایشگاهی مقایسه و در نهایت، برای مدل کردن انواع فولادهای مسلح‌کننده از المان خربایی Link8 استفاده شد و برای درنظرگرفتن بتن (بن خودمتراکم)، اتصال مزبور بالا مان Solid65 با دو نوع خصوصیات متفاوت: ۱) قسمت پوسته‌ی بتن (پوشش بتنی روی آرماتورها)؛ ۲) قسمت بتن هسته که با خاموت‌ها محصور شده است، مش زده شد. پس از تجزیه و تحلیل و مقایسه‌ی نتایج ANSYS با نتایج آزمایشگاهی، نتایج قبل قبولی (با درصد خطای برابر با ۶,۱۶ و ۶,۷۲ به ترتیب برای بار جاری شدن و افتادگی نهایی) به دست آمد. بر این اساس، از این روش مدل کردن برای اتصالات S1 تا S3 دارای SCC، که شبیه مدل سازی رایج در سازه‌های بتن مسلح (ستی، با نیاز به ویره) است، استفاده شد.

نتایج مدل سازی ANSYS و آزمایشگاهی اتصالات ساخته شده از بین خودمتراکم سازگاری خوبی با یکدیگر دارند. این در حالی است که نتایج دور روش در فاز بهره‌برداری بسیار به یکدیگر نزدیک هستند. از دو نوع بتن برای مش زدن رفتار بتن پوسته و هسته (محصور شده با خاموت‌ها) استفاده شد، بتن پوسته نسبت به قسمت هسته، مدول کشسانی کمتر دارد و برای

## بررسی طول (قطرا) مفصل خمیری در فولادهای کششی

در این تحقیق به کمک قرائت کرنش سنج‌های کششی در مقاطع مختلف (شکل ۱) از جمله در فاصله‌ی ۵۰ سانتی‌متری مشاهده شد کرنش در میلگرددهای کششی همه‌ی اعضاء فراتر از این ناحیه جاری می‌شوند. از این رو سعی شده است با استفاده از داده‌های کرنش سنج‌های موجود و با فرض اینکه روی تکیه‌گاه مقادیر کرنش در میلگرددهای کششی تقریباً صفر است، این مقادیر درون‌بابی شده و سپس با مقادیر حاصل از مدل ANSYS مقایسه و درصد خطای هر یک در جدول ۸ آورده شده است.

در مورد میلگرددهای کششی از نتایج جدول ۸ مشاهده می‌شود همانند بتن‌های سنتی که نیاز به ویره دارند در اعضاء دارای SCC نیز برای اعضاء با فولاد کششی

جدول ۸. طول ناحیه‌ی جاری شدن در میلگرددهای کششی.

S3	S2	S1	
نتایج آزمایشگاهی (سانتی‌متر)	۲۰,۳	۲۰,۳	
نتایج (ANSYS) (سانتی‌متر)	۱۵۵	۱۲۵	۱۵۵
درصد خطای ANSYS	۲۴	۲۸,۵	۲۴

محدود منتخب، نشان می‌دهد که کلیه اعضاء قادر به رسیدن به باری بیش از بار نهایی هستند. به عبارت دیگر، همانند بتن‌های سنتی، استفاده از بتن خودمتراکم در سازه‌های بتن مسلح، منجر به رفتار شکل‌پذیر آنها می‌شود به نحوی که امکان تشكیل مفصلی با طول (قطر) ۱۰۰ سانتی‌متر در اعضاء مورد مطالعه در این تحقیق فراهم شده است. مشابه بتن‌های سنتی، استفاده از SCC برای اعضاء با فولاد کششی یکسان، با افزایش فولاد فشاری و برای اعضاء با فولاد فشاری یکسان نیز با افزایش فولاد کششی، طول (قطر) مفصل خمیری کاهش می‌یابد. در این حالت مقایسه‌ی دو روش آزمایشگاهی و عددی کمینه و بیشینه‌ی خطای برابر با ۳/۷ و ۲۸/۵ درصد را نشان می‌دهد.

در اعضاء این تحقیق، مقدار شکل‌پذیری به دست آمده، از کمینه‌ی مقدار ۳ پیشنهادی پژوهشگران، برای اعضاء بتن (سنتی) مسلح ویژه‌ی مناطق زلزله‌خیز بیشتر شده است. به بیان دیگر، امکان طراحی شکل‌پذیر اتصالات بتن مسلح با بتن خودمتراکم مقدور است.

در نظرگرفتن رفتار بتن پوسته از مقادیر قرائت کرنش‌سنج‌های نصب شده بر سطح (پوسته) بتن استفاده شد ( $\frac{1}{4}$ )، در این حالت نیز نتایج دو روش از درصد خطای مناسبی برخوردارند.

برای در نظرگرفتن محصور شدنگی بتن خودمتراکم، استفاده از المان‌های Pipe<sup>۱۶</sup> و Beam<sup>۴</sup> نتایج مطلوبی در برداشته است. چنین به نظر می‌رسد که بالاوند درجات آزادی در این المان‌ها باعث افزایش ظرفیت باربری و تغییر شکل‌های کمتر می‌شود. همچنین با استفاده از المان‌های Link<sup>۸</sup> و Pipe<sup>۱۶</sup> و Beam<sup>۴</sup> مشاهده شد که بهترین هم‌خوانی مدل ANSYS با نتایج آزمایشگاهی مربوط به حالتی است که بتن پوسته و هسته هر یک با خصوصیتی متفاوت (مش زده) المان‌بندی (FE Model) شوند.

از نتایج به دست آمده مشاهده شد که درصد خطای مربوط به بار جاری شدن و افتادگی نهایی به ترتیب برای Fc Model<sup>۲۱</sup> و Fc Model<sup>۴۱</sup>، برای Beam<sup>۲۷</sup> و Beam<sup>۴۱</sup>، برای Model FE<sup>۶</sup> و Model FE<sup>۲۲</sup> است. مقایسه‌ی نتایج آزمایشگاهی با مدل اجراء

## پانوشت

1. Normal Conventional Concrete
2. Self Compacting Concrete
3. fresh SCC

## منابع

1. Okamura, H., "Self-compacting high-performance concrete," *Concrete International*, **19**(7), pp. 50-54 (July 1997).
2. Skarendahl, A., and Petersson, Ö. "State-of-the-art report of RILEM technical committee 174-SCC, self-compacting concrete", *Report* (23), pp. 141 (2001).
3. Khayat, K.H. "Workability, testing, and performance of self-consolidating concrete", *ACI Materials Journal*, **96**(3), pp. 349-353 (May-Jun 1999).
4. مقصودی، علی اکبر؛ فخر قاطع، حمید و اکبرزاده بنگر، حبیب "شکل‌پذیری و حالت نهایی محل اتصال در اعضاء ساخته شده از بتن خودمتراکم (SCC)"، اولین همایش مقاومت‌سازی لرزه‌بی، تهران، دانشگاه صنعتی امیرکبیر، کد مقاله ۱۳۸۵(۶۰۵).
5. فخر قاطع، حمید "بررسی تحلیلی و تجربی شکست اتصالات تیر به ستون اعضاء بتن مسلح دارای بتن خودمتراکم (SCC)"، پایان‌نامه‌ی کارشناسی ارشد، بخش عمران دانشگاه شهرید باهنر کرمان (۱۳۸۵).
6. Kachlakov, D.; Miller, T., and Yim, S. "Finite element modeling of reinforced concrete structures strength with FRP laminates" *Report for Oregon Department of Transportation*, Salem (May 2001).
7. Fanning, P. "Nonlinear models of reinforced and post-tensioned concrete beams", *Electronic Journal of Structural Engineering* (4) pp.110-121 (2001).
8. Barbosa, A. F., and Gabriel, O.R. "Analysis of reinforced concrete structures using ansys nonlinear concrete model", *Computational Mechanics* (1988).
9. Hashemi, H.; Rahgozar, R., and Maghsoudi, A. A. "Finite element and experimental serviceability of HSC beams strengthened with FRP sheets", *American Journal of Applied Sciences*, **4**(9), pp. 725-735 (2007).
۱۰. مقصودی، علی اکبر و اکبرزاده بنگر، حبیب "آنالیز شکل‌پذیری تیرهای محصور شده دارای بتن مقاومت بالا (HSC)"، تهران، اولین کنگره ملی مهندسی عمران، دانشگاه صنعتی شریف، کد مقاله ۱۰۲۴ (۱۳۸۳).
11. Ashour, A.A. "Effect of compressive strength and tensile reinforcement ratio on flexural behavior of high-strength concrete beams," *Eng. Struct. J.*, pp. 413-423 (2000).
12. Mattock, A.H. "The rotational capacity of hinging region in reinforced concrete beams", *Proceedings of the International Symposium on Flexural Mechanics of Reinforced Concrete*, ASCE-ACI, Miami, pp. 143-181 (Nov. 1964).
13. Maghsoudi, A.A., and Akbarzadeh, H. "Effect of  $\rho'$  on ductility of HSC members under bending", *Seventh International Symposium on Utilization of High-Strength/High Performance Concrete*, Washington, D.C., USA (2005).
14. American Concrete Institute (ACI) "Building code requirements for structural concrete" and "Commentary," ACI 318-05 and ACI 318R-05 (2005).
15. Ned H. Burns, and Chester P. Siess, F., "Plastic Hinging in Reinforced Concrete" *Journal of the Structural Division*

- sion Proceeding of the American Society of Civil Engineers, ASCE, pp. 45-46 (October 1966).
16. William, K.J, and Warnke, E.D. "Constitutive model for the triaxial behavior of concrete", *Proceedings of the International Association for Bridge and Structural Engineering*, ISMES, Bergamo, Italy, **19**, p. 174 (1975).
  17. ANSYS, ANSYS User's Manual, Version 9.
  18. Popovics, S. "A numerical approach to the complete stress-strain curve of concrete," *Cement and Concrete Research*, **3**(5), PP. 583-599 (1973).
  19. Thorenfeldt, E., and Tomaszewicz, A. "Mechanical properties of high-strength concrete and application in de-
  - sign ", *Proceedings of The Symposium Utilization of High-Strength Concrete*, Tapir, Trondheim, PP. 149-159 (1987).
  20. Collins, M.P., and Porasz, A. "Shear design for high-strength concrete", *CEB Bulletind, Information*, (193), PP. 77-83 (1989).
  21. Collins, M.P., and Mitchell, D. "Prestressed concrete structure", *Prentice-Hall Inc*, Englewood Cliffs, New Jersey, P. 766 (1991).
  ۲۲. مقصودی، علی اکبر "شکل پذیری سازه‌های بتن آرم ویژه مناطق زلزله خیز"، کرمان، دانشگاه شهید باهنر کرمان (۱۳۷۵).